

埼玉大学工学部 正会員 佐藤 邦明
三菱金属(株)(研究生) ○正会員 佐々木 康夫

1.はじめに

原子力産業廃棄物の保管や処理における安全性評価の際に、核種の土壤や岩盤中の挙動の把握は極めて重要視され、種々の研究がなされてゐる。我々は岩盤中の核種挙動把握の第一歩として、2種の岩における⁸⁰Co, ⁸⁵Sr, ¹³⁷Csの混合溶液による分散実験を試み、先の岩盤力学に関するシンポジウムでその状況を報告したが、今回はそれらの結果の解析について報告する。

2. 実験方法と結果

実験は高圧ガスにより一定圧力を溶液を試料上面に送り浸透を起させ、それを定期的に採取し濃度測定を得ようとするものである。図-1に実験装置の概略と試料部分、濃度測定装置略図を示したが、装置は高圧用透水実験装置を用い、溶液に放射性核種を含み高圧で浸透を起させるため、石の溶液の漏洩や吸収に備え溶液タンクと試料部分はビニールフィルムを内張りしたステンレス製容器に收めた。用いた試料は茨城県産の稻田花崗岩と静岡県産の新小松安山岩で、径55mm、長さ150mmの“ずれ”600°Cに加熱後水中急速により人工的に微小き裂を発生させたもので、稻田花崗岩は上面から50mm, 100mm、新小松安山岩は25mm, 50mmの位置に浸透溶液採取管が設けてある。用いた核種の濃度や試料の物理値は表-1に纏めて示した。今回の溶液採取量は又満とし、その量は秤量器による重量法で求め原溶液、バッフルフランジ側面のための蛇口と共にゲルマニウム半導体検出器、波高分析装置で同時に3核種測定した。実験結果は図-2に稻田花崗岩、図-3に新小松安山岩の場合をえ々示したが核種の使用量上の制約からどう得ず途中で実験を中止したので試料共濃度比¹³⁷Csは最初に達してない。両図において、検出される核種の順序は稻田花崗岩が⁸⁵Sr, ⁶⁰Co, ¹³⁷Cs、新小松安山岩が⁶⁰Co, ⁶⁰Coで两者は異つてゐる。検出時間差は⁸⁰Co, ⁸⁵Srは比較的小さりが¹³⁷Csはかなり遅れ、新小松安山岩では検出されない。これは岩種(構成鉱物の相違)により吸着されやすいう核種やその強度が異なること示す。また、濃度比⁸⁵Sr/⁶⁰Coがスムーズな増加を示してないのは浸透流量の経時変化が示す様に、実験環境の温度変化による浸透流量や吸着度合の変化、試料中の浸透流路の目詰り等のためと考えられるが、新小松安山岩の54日目以降の一方向的濃度比の減少と合せ、その理由は明確でない。更に、今回の初期浸透流量と別に求めた漏水の分散係数から計算した点線で示す破壊曲線を比較すると、放射性核種の場合吸着効果がいかに大きいかが判る。

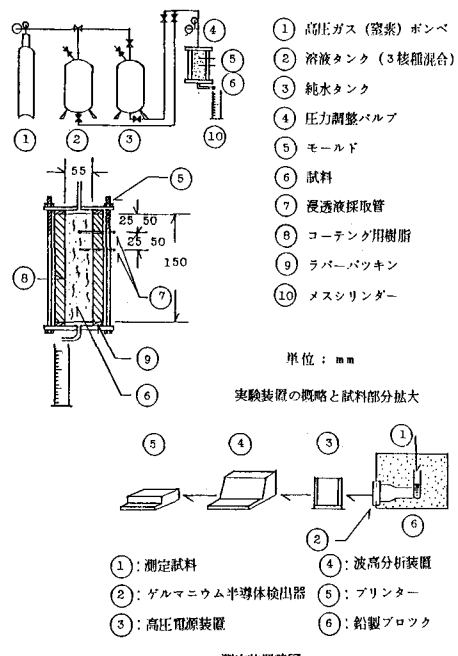


図-1 実験装置と測定装置

表-1 試料岩石名と試験結果

	稻田花崗岩	新小松安山岩
密度 ($\times 10^{-3} \text{kg/m}^3$)	2.57(2.85)	2.45(2.45)
空隙率 (%)	6.10(0.810)	15.5(0.03)
平均浸透速度 (m/s)	4.20×10^{-5}	4.08×10^{-6}
平均透水係数 (m/s)	1.69×10^{-7}	2.53×10^{-9}
組成 稻田花崗岩 $X=0.05\%$	⁸⁰ Co 85Sr 137Cs	89.6 72.6 121
配 新小松安山岩 $X=0.025\%$	— — —	— — —
組成 稻田花崗岩 $X=0.10\%$	60Co 85Sr 137Cs	89.6 72.6 —
数 新小松安山岩 $X=0.05\%$	— — —	— — —
Kd	— — —	— — —
分 組成 稻田花崗岩 $X=0.05\%$	60Co 85Sr 137Cs	$1 \times 10^{-9.2}/S$ $6.78 \times 10^{-9.2}/S$ $4.85 \times 10^{-10.2}/S$
散 新小松安山岩 $X=0.025\%$	— — —	$1.20 \times 10^{-11.2}/S$ — —
D (cm^2/s)	— — —	— — —
組成 稻田花崗岩 $X=0.10\%$	60Co 85Sr 137Cs	$1 \times 10^{-9.2}/S$ $6.78 \times 10^{-9.2}/S$ —

使用核種	⁸⁰ Co	⁸⁵ Sr	¹³⁷ Cs
濃度 $\mu\text{Ci}/\text{ml}$	1×10^{-2}	2×10^{-2}	1×10^{-2}
半減期	5.2 年	65 日	30 年

3. 結果の解析

今回実験した核種の岩石試料中の挙動を数量的に把握するには、核種の吸着効率を考慮する必要がある。今、吸脱着反応を支配する方程式として

$$\dot{S} = K_a \cdot C \quad \text{--- (1)}$$

の形式を考えると、分散方程式は

$$\frac{\partial^2}{\partial t^2} \left[C + \frac{1-f}{f} \cdot P \cdot S \right] = D_x \frac{\partial^2 C}{\partial x^2} - U \frac{\partial C}{\partial x} \quad \text{--- (2)}$$

と書ける。ここに、 C は溶液中の著質濃度、 f は空隙率、 D_x は水の浸透方向分散係数、 U は水の平均流速、 P は試料の真密度、 K_a は分配係数である。水に対する著質の移行速度の遅れ程度は遷移係数 R_f を用い(3)式の様に表わされ、(2)式は(4)式の様になる。

$$R_f = (1 + \frac{1-f}{f} \cdot P \cdot K_a) \quad \text{--- (3)}$$

$$\frac{\partial C}{\partial t} = \frac{D_x}{R_f} \frac{\partial^2 C}{\partial x^2} - \frac{U}{R_f} \frac{\partial C}{\partial x} \quad \text{--- (4)}$$

ここで、 D_x 、 U 、 R_f は一定値と考えると D_x/R_f 、 U/R_f も一定値となり、改めてこれらを D 、 U と置くと(4)式は吸脱着反応のない場合と同形の式となる。この解は $C(0, t) = 0$ $t \geq 0$ 、 $C(\infty, t) = 0$ $t \geq 0$ 、 $C(x, 0) = 0$ $x > 0$ の式で

$$\frac{C}{C_0} = \frac{1}{2} \exp \left\{ \frac{|X-Ut|}{2(Dt)^{1/2}} \right\} + \frac{1}{2} \exp \left\{ \frac{Ux}{D} \right\} \exp \left\{ \frac{|X+Ut|}{2(Dt)^{1/2}} \right\} \quad \text{--- (5)}$$

となる。実測された比濃度吸通曲線から分散係数を求めるには(5)式の解曲線に色々な D 、 U 、 X の値を与えて理論曲線を得て、実験結果と比較し best fitting させることにより行った。このようにして得られた分散係数(分配係数)と共に物理的値等を示してある表-1に示し、図-4、5に代表的な例を掲げた。図-4は稲田花崗岩の ^{85}Sr の分散係数が $6.78 \times 10^{-9} \text{ m}^2/\text{s}$ 、分配係数が72.6の場合で理論曲線は $X = 0.05$ 、 0.10 m 共同じ値を用いて描いた。理論値は初期には実測値より小さく、ある時間からは実測値より大きくなっているが、大まかには両者は合つ

ていると見て良い。図-5は新小松安山岩の ^{60}Co の分散係数が $4.78 \times 10^{-12} \text{ m}^2/\text{s}$ 、分配係数が100の場合で実験開始から1296時間までの実測値に合せており、両者は比較的良好く合つてゐる。今回の実験では稲田花崗岩の場合、分散係数は $1 \times 10^{-9} \sim 4.85 \times 10^{-10} \text{ m}^2/\text{s}$ 、分配係数は $20.1 \sim 121$ 、新小松安山岩の場合、分散係数は $1.20 \times 10^{-9} \sim 4.78 \times 10^{-12} \text{ m}^2/\text{s}$ 、分配係数は100～351の値が得られ、新小松安山岩の分散係数は稲田花崗岩のそれより100～500倍程になつてゐる。また、浸透流量の経時変化を、 $Q = a e^{bx} + c$ で近似させた結果、稲田花崗岩の場合には $a = 7.08$ 、 $b = -0.113$ 、 $c = 368$ 、新小松安山岩の場合には $a = 5.24$ 、 $b = -0.0093$ 、 $c = 115$ であった($Q = \text{m}^3/\text{日}$)。

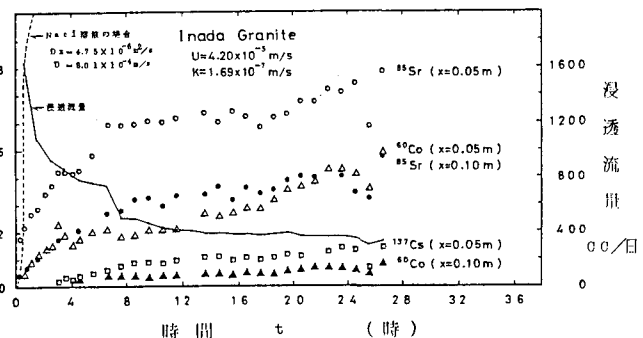


図-2 稲田花崗岩の実験結果(実験時間27日目までの結果を示す)

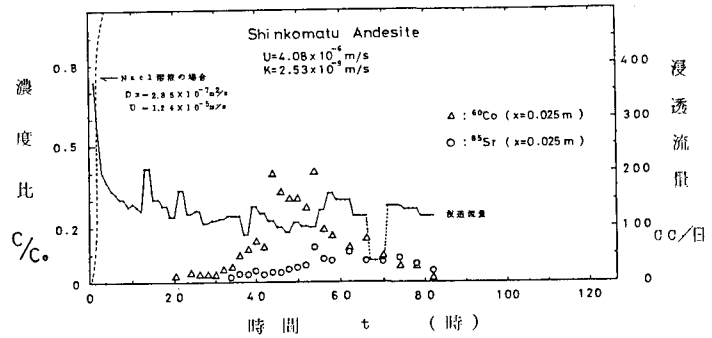


図-3 新小松安山岩の実験結果(実験時間82日目までの結果を示す)

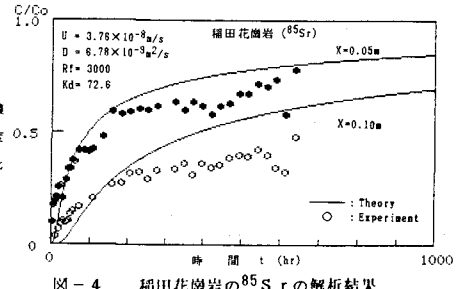


図-4 稲田花崗岩の ^{85}Sr の解析結果

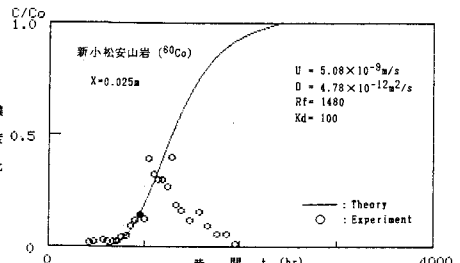


図-5 新小松安山岩の ^{60}Co の解析結果